

мировался при непараллельности установки анизотропно-резистивных электродов до  $\pm 3$  мм на длине 300 мм при расстоянии между ними 20 нм. В заключение отметим, что прямоугольные резистивные электроды (рис. 1,в) длиной 300 мм были с успехом применены в He-N<sub>2</sub> лазере и получено прямоугольное пятно генерации ( $\lambda_{\text{ген}} = 337$  нм) с сечением 20 × 20 мм, аналогичное пятну интегрального свечения на рис. 1.

### Список литературы

- [1] Чанг Т.Дж. // Приборы для научных исследований. 1973. Т. 44. № 4. С. 43–46.
- [2] Месяц Г.А., Осипов В.В., Тарасенко В.Ф. Импульсные газовые лазеры. М.: Наука, 1991. 271 с.
- [3] Великин А.А., Гуреевич Д.Б., Канатенко М.А., Подмошенский И.В. // ЖТФ. 1985. Т. 55. Вып. 6. С. 1222–1224.

Всероссийский научный центр  
(ГОИ им. С.И.Вавилова)  
Санкт-Петербург

Поступило в Редакцию  
17 ноября 1993 г.

02;03;12  
© 1994 г.

Журнал технической физики, т. 64, в. 6, 1994

## РАДИАЛЬНАЯ СТРУКТУРА ИОННОГО ПУЧКА В НЕОДНОРОДНОМ ГАЗЕ

В.Л.Бобров, А.Р.Каримов

Известно [1], что для автокомпенсации пространственного заряда пучка необходимо, чтобы плотность фонового газа была достаточно большой. В ряде случаев необходимые условия создаются дополнительным вводом в систему потока газа. Если ионный пучок инжектируется тогда, когда пространственное установление газа не прошло, и если в системе к моменту поступления пучка существуют значительные пространственные градиенты плотности, соизмеримые с характерным поперечным размером пучка, то возможно изменение пространственной структуры пучка вследствие процесса перезарядки. В данной работе исследуется радиальная структура ионного пучка, распространяющегося при нестационарном напуске, когда может реализоваться описанная выше ситуация.

Исследуемая схема представляет собой пустотелый цилиндр заданных размеров (здесь и дальше все параметры системы приведены в размерном виде: высота  $H = 6$  м, радиус  $R = 1$  м), через один из торцов которого производится напуск газа. Источник газа — круг радиуса  $R = 0.1$  м, центр которого совпадает с осью цилиндра. Напуск производится в течение заданного времени  $t_{\text{нап}} = 6$  Ом·с постоянным потоком газа ( $H_2$ ). Считаем, что на протяжении всего времени эксперимента реализуется свободно молекулярный режим и расходом газа на перезарядку и ионизацию можно пренебречь. Первое условие выполняется для газа с  $T = 300$  К при  $p < 10^{-2}$  Тор, а второе соблюдается, когда плотность газа много больше плотности пучка.

Расчет пространственно-временного распределения газового фона, формируемого под действием напуска, проводился методом прямого статистического моделирования [2,3]. Предполагалось, что поступающий и находящийся в системе газ находится в равновесии и имеет больцмановское распределение с единой температурой  $T = 300$  К, совпадающей с температурой стенок. В виду малости эффекта пренебрегаем процессами поглощения газа поверхностью и дегазацией. В этих предположениях поток газа, поступающий в свободномолекулярном режиме, есть

$$I = N(\mathbf{r}, t) \left( \frac{M}{2kT\pi^2} \right)^{1/2} \int_0^\infty \int_0^{2\pi} \int_0^{\frac{\pi}{2}} u^3 \exp \left( -\frac{mu^2}{2kT} \right) \sin(\theta) \cos(\theta) du d\varphi d\theta, \quad (1)$$

где  $N_0$  — плотность поступающего газа.

Поток  $I$  записан в сферической системе координат с полярной осью, совпадающей с осью симметрии системы. Заполнение системы газом моделируется следующим образом: весь моделируемый интервал времени  $t_{\text{нап}} = 60$  мс разбивался на последовательность малых промежутков  $\tau$  ( $\tau = 1$  мс), в каждый из которых в течение времени  $t_{\text{нап}}$  в систему выпускалась порция из  $K$  ( $K = 100$ ) частиц. Начальная скорость, направляющие углы пробной частицы напуска задаются из распределений по  $u$ ,  $\varphi$  и  $\theta$ , которые следуют из (1). Так, направляющие углы пробной частицы даются соотношениями

$$\varphi = 2\pi A, \quad \cos(\theta) = A^{1/2}, \quad (2)$$

где  $A$  — случайное число, равномерно распределенное на отрезке  $[0,1]$ .

Величина скорости  $u$  задается исходя из распределения

$$F(u) = u^3 \exp \left( -\frac{Mu^2}{2kT} \right) \quad (3)$$

методом исключения [3].

Учитывая равномерность потока по сечению, начальное положение пробных частиц напуска удобно задать в цилиндрической системе с осью  $z$ , совпадающей с осью системы

$$z = z_h, \quad r = R_h A^{1/2}. \quad (4)$$

Каждая частица из начальной точки  $\mathbf{r}_0$  движется вдоль траектории  $\mathbf{r} = \mathbf{r}_0 + \mathbf{u}t$  до попадания на ближайшую к частице поверхность. Такая поверхность находится из совместного решения траектории и уравнений внутренних поверхностей системы. Требуемой поверхности отвечает минимальное положительное значение  $t$ . Выбор скорости отраженных от поверхности частиц проводится согласно диффузной модели рассеяния, т.е. отраженные частицы имеют больцмановское распределение с температурой стенки. Процесс наблюдения за полным ансамблем из  $K$ -частиц ( $K = kt_{\text{нап}}/\tau$ ) проводился за интервал времени

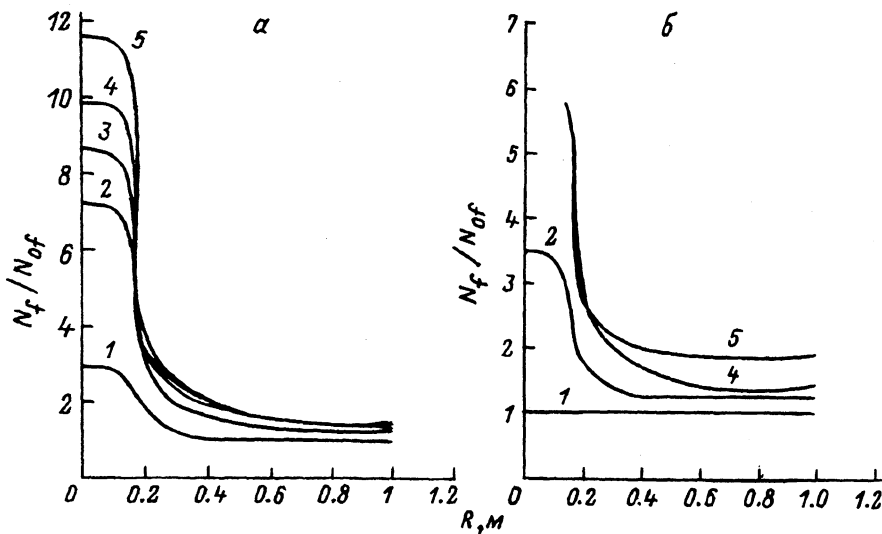


Рис. 1. Радиальное распределение плотности фонового газа в сечении  $z = 0.15$  (a), 5.75 м (б).  
1–5 относятся к временам  $t = 5, 15, 25, 35, 45$  мс соответственно.

$t_{\text{наб}}$ , в течение которого вычислялось распределение плотности газа в системе

$$N_f(\mathbf{r}, t) = \sum_i \delta(\mathbf{r} - \mathbf{r}_i),$$

где  $\mathbf{r}_i$  относится к  $i$ -пробной частице.

Для системы с данными параметрами было установлено, что формируется распределение газа, слабо меняющееся по оси  $z$  и существенно неоднородное в радиальном направлении. Поэтому характерное радиальное распределение приведено для двух сечений по оси  $z$  вблизи точки напуска ( $z = 0.15$  м) и у противоположного торца ( $z = 5.75$  м) на рис. 1, а, б соответственно. Причем данная особенность распределения наблюдается как на начальной стадии напуска, так и к концу расчетного времени. Начиная с времен, больших 50 мс, происходит выравнивание давления по объему.

Характер распределения плотности в объеме определяется соотношением геометрических размеров системы, моделью рассеяния поверхностью частиц и начальными скоростями частиц. В частности, для выявления наиболее значимого фактора, ответственного за наблюдаемые особенности, были проведены расчеты с равновероятным распределением нормальной к поверхности компоненты скорости. При этом устанавливается неоднородное распределение по пространству без указанных особенностей. Аналогичные результаты получаются при изменении геометрических размеров:  $H = 2$  м,  $R = 0.3$  м и  $H = 1$  м,  $R = 0.3$  м. Заметим, что приведенные результаты переносимы на другие пространственно-временные масштабы и критерием применимости является число Кнудсена, которое в данном случае следует записать как  $K_n = \theta/\beta L$ , где  $\theta$ ,  $L$  — характерный временной и геометрический масштаб системы,  $\beta = (2RT)^{-1/2}$ ,  $R$  — газовая постоянная. В рассматриваемом случае за  $\theta$  можно принять  $t$ , а за  $L$  следует взять  $H$ .

Естественно, что в случае инжекции ионного пучка по оси системы, когда в объеме реализуется распределение газа, представленное на рис. 1, а, б, будет происходить изменение радиальной структуры пучка в результате перезарядки. Влияние это будет проявляться по-разному в зависимости от характерного поперечного размера пучка. Продемонстрируем такое поведение на примере ионного пучка с начальным гауссовским радиальным распределением плотности

$$N_b = N_{0b} \exp(-r^2/D^2), \quad (5)$$

где  $D$  — характерный поперечный размер пучка. Считаем, что  $D$  остается постоянным по траектории пучка, хотя вследствие остаточного потенциала и теплового разброса радиус пучка будет увеличиваться. Качественно характер такого влияния покажем, сделав расчеты радиального профиля плотности при различных значениях  $D$ :  $D_1 = 0.1$  м,  $D_2 = 0.15$  м,  $D_3 = 0.2$  м. Изменение радиального распределения плотности пучка по координате  $z$  описывается уравнением

$$\frac{dN_b(z, r)}{dz} = -N_b \delta L^{-1}, \quad (6)$$

где  $\delta L^{-1} = \sigma_{np} = N_f(z, r)$ ;  $\sigma_{np}$  — сечение перезарядки.

Для определенности рассмотрим протонный пучок энергии  $E_b = 10$  кэВ, распространяющийся по водородному фону с давлением  $P_{0f} = 10^{-2}$  Тор,  $T = 300$  К, поскольку из структуры (6) видно, как перейти к другим параметрам; при данной энергии сечение перезарядки

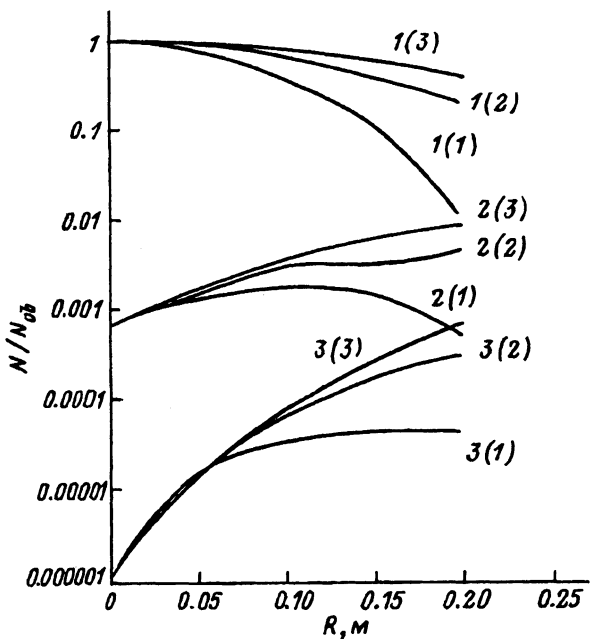


Рис. 2. Радиальные распределения плотности в пучке при различных  $z$  и  $D$ .  $z = 0$  (1), 1 (2), 1.5 м (3), цифры в скобках —  $k$  в  $D_k$ .

имеет максимальное значение [4] и эффект, связанный с неоднородностью давления, будет проявляться наиболее сильно. По этой же причине в качестве характерного распределения фонового газа возьмем распределение при  $t = 45$  мс. Зависимости радиальных распределений плотности по траектории пучка для трех значений  $z$ , отвечающие различным  $D$ , представлены на рис. 2. Видно, что при выбранных параметрах системы происходит обращение профиля пучка на относительно малом расстоянии по  $z$ : пучок из гауссовского превращается в пучок кольцевой структуры. В зависимости от  $D$  немонотонность в радиальном распределении носит различный характер (кривые 2). Из данных зависимостей понятно, что за счет соответствующего выбора  $\delta L$  и  $D$  возможно образование распределений с более значительной характерной радиальной неоднородностью по сравнению с приведенными зависимостями.

#### Список литературы

- [1] Габович М.Д. // УФН. 1977. Т. 121. № 2. С. 259.
- [2] Березин Ю.А., Вимеков В.А. Метод частиц в динамике разреженной плазмы. Новосибирск: Наука, 1980.
- [3] Берд Г. Молекулярная газовая динамика. М.: Мир, 1981.
- [4] Инжекторы быстрых атомов водорода. М.: Энергоиздат, 1981.

Поступило в Редакцию  
20 июня 1993 г.